

Analisa Performa Propeller Pada Kapal Ferry 5000 GT

Raqih Arizona Pradhika ^{1*}, Priyo Agus Setiawan ², Ekky Nur Budiyanto ³

Teknik Permesinan Kapal, Teknik Permesinan Kapal, Politeknik Perkapalan Negeri Surabaya, Indonesia^{*}

Teknik Perpipaanl, Teknik Permesinan Kapal, Politeknik Perkapalan Negeri Surabaya, Indonesia

Teknik Perpipaan, Teknik Permesinan Kapal, Politeknik Perkapalan Negeri Surabaya, Indonesia

Email: raqiharizona@gmail.com^{1*}; priyo.as@ppns.ac.id²; ekky@ppns.ac.id³;

Nowadays, the development of propeller design planning has developed quite rapidly. Series propellers on the market are not only B-Series, Kaplan Series, AU Series, Gwan Series and SK Series. Some series propellers have characteristics of propeller design. Now there are many new series of propeller on the market which is the result of a variety of propeller series that have been there before. With technological advances, software assistance can simulate a new series of propellers with a sufficiently short period of time to get the desired propeller performance results.

This research discusses the performance of B-series propellers in open water with variation of rake angle from -3 °, -2 °, -1 °, 0 °, 5 °, 10 ° and 15 ° also variation of skew angle 12 ° and 22 ° using a computational fluid dynamic method (CFD) approach. The purpose of this research is to analyze propeller model to get the highest thrust propeller model, lowest torque, highest efficiency, highest static pressure and highest velocity.

Keywords : propeller, computational fluid dynamic, rake angle, skew angle.

Nomenclature

| | |
|----------|--------------------------|
| K_T | koefisien dorong |
| K_Q | koefisien torsi |
| J | koefisien advanced |
| V_a | kecepatan advanced (m/s) |
| D | diameter (m) |
| n | putaran (rps) |
| T | gaya dorong (N) |
| Q | torsi (Nm) |
| η_o | efisiensi open water |

1. PENDAHULUAN

Perencanaan desain *propeller* merupakan aspek terpenting dalam sistem propulsi. Kecepatan kapal tidak terlepas dari desain *propeller* yang baik agar mendapatkan gaya dorong (*thrust*) maksimal. Dalam perencanaan desain *propeller* mengalami perkembangan yang cukup pesat. *Series propeller* yang ada di pasaran tidak hanya *B-Series*, *Kaplan Series*, *AU Series*, *Gwan Series* dan *SK Series*. Beberapa *series propeller* tersebut memiliki ciri karakteristik masing-masing dari segi desain *propeller*. Sekarang sudah banyak *series propeller* baru dipasaran yang merupakan hasil dari variasi *series propeller* yang telah ada sebelumnya. Dengan kemajuan teknologi, bantuan *software* dapat mensimulasikan *series propeller* yang baru dengan jangka waktu yang cukup singkat untuk mendapatkan hasil performa *propeller* yang diinginkan. Dalam perkembangannya penelitian banyak yang menggunakan simulasi *CFD* sebagai metode memperpendek *distance to reality* pada banyak kasus dalam multi-disiplin.

Penelitian terdahulu terkait analisa *propeller* menggunakan metode CFD salah satunya *Open Water ater Performance Marine Propellers Using CFD* (M.A Elghorab, 2013) menjelaskan variasi RPM dan kecepatan advance terhadap performa *propeller*. Simulasi telah dilakukan untuk mendapatkan kinerja model *propeller* menggunakan *ANSYS CFX* dan hasilnya telah disimpulkan bahwa simulasi *propeller B-Series* dengan hasil eksperimen dengan kesalahan 10,59% untuk koefisien dorong dan koefisien torsi 18,9%. Dalam penelitian Analisa Pengaruh Variasi Sudut *Rake Propeller B-Series* Terhadap Aliran Fluida Dengan Metode *CFD* (C. Wisnu, 2016) menjelaskan mengenai pengaruh variasi sudut *rake*, variasi RPM dan jumlah daun terhadap nilai *thrust*, *torque* dan efisiensi *propeller* dengan kondisi *open water*.

Oleh karena itu, penelitian ini membahas performa *propeller B-series* dalam keadaan *open water* dengan variasi sudut *rake* dari -3°, -2°, -1°, 0°, 5°, 10° dan 15° juga variasi sudut *skew* 12° dan 22° menggunakan pendekatan metode *computational fluid dynamic (CFD)*. Tujuan penelitian adalah menganalisa model *propeller* untuk mendapatkan nilai *thrust*, *torque*, efisiensi, *static pressure* dan *velocity*.

2. METODOLOGI .

2.1 Studi Literatur

Studi literatur bertujuan untuk melengkapi dan menyiapkan konsep teori yang dibutuhkan selama mengerjakan penelitian. Studi literatur yang digunakan meliputi *manualbook*, *textbook*,

handbook, artikel ilmiah, konsultasi dengan dosen pembimbing dan buku-buku penunjang lainnya yang relevan.

2.2 Perumusan Masalah

Tahap perumusan masalah merupakan tahap penuangan gagasan masalah yang akan dibahas. Rumusan masalah ini menjadi aspek pokok dalam analisa pada penelitian berdasarkan data yang telah didapat.

2.3 Pengumpulan Data

Data yang dikumpulkan dalam tugas akhir ini berupa data primer dan data sekunder. Data yang digunakan dalam penelitian ini dapat dilihat pada Tabel 1.

Tabel 1. Spesifikasi Propeller

| | |
|-------------|--------------|
| Jenis | FPP B-Series |
| Tipe | 4.75 |
| Diameter | 2,8 m |
| Jumlah daun | 4 |
| Putaran | 244 rpm |
| A_e/A_0 | 0,75 |
| Sudut rake | 15° |

2.4 Perhitungan Thrust, Torque dan Efisiensi

Perhitungan manual *thrust* dan *torque* dilakukan bertujuan melakukan validasi persentase *error thrust* dan *torque* hasil simulasi *CFD*. Validasi yang diakukan membandingkan nilai *thrust* dan *torque* hasil simulasi numerik dan perhitungan manual. *Error* nilai *thrust* dan *torque* tidak lebih dari 15%. Secara umum persamaan yang menunjukkan karakteristik *propeller* adalah sebagai berikut :

$$J = \frac{V_a}{n D}$$

$$K_T = \frac{T}{\rho n^2 D^4}$$

$$K_Q = \frac{Q}{\rho n^2 D^5}$$

Untuk nilai efisiensi *propeller* pada *open water* diberikan rumus:

$$\eta_o = \frac{T V_a}{2 \pi n Q}$$

2.5 Pemodelan Propeller

Pemodelan *propeller* dilakukan dengan bantuan *software PropCad* untuk mendapatkan geometri 3D *propeller* dan *SolidWork* untuk penggambaran 3D *propeller*.

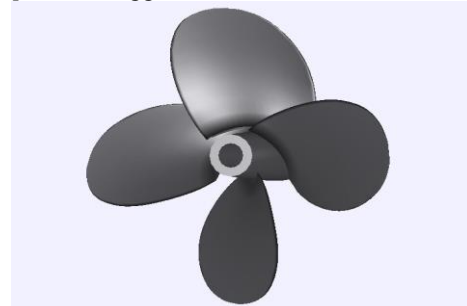
2.6 Analisa dan Kesimpulan

Secara garis besar langkah – langkah simulasi numerik pada *solver* ini dibagi menjadi beberapa tahapan yaitu *Geometry*, *Mesh*, *Setup*, *Solution* dan *Result*. Membandingkan 14 model *propeller* dengan mendapatkan *thrust* tertinggi, *torque* terendah, efisiensi tertinggi, *static pressure* terbesar dan *velocity* tertinggi.

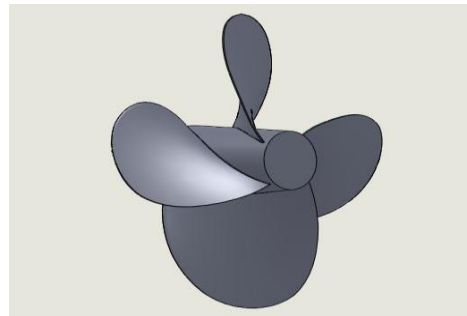
3. HASIL DAN PEMBAHASAN

3.1 Pemodelan Propeller

Pemodelan *propeller* untuk mendapatkan geometri menggunakan bantuan *software PropCad*. Desain 3D *propeller* dilakukan dengan menggunakan bantuan *software SolidWork*. Pada gambar 1 merupakan pemodelan menggunakan *PropCad* dan gambar 2 merupakan pemodelan *propeller* menggunakan *SolidWork*.



Gambar 1. Pemodelan Propeller Menggunakan PropCad



Gambar 2. Pemodelan Propeller Menggunakan SolidWork

3.2 Geometry dan Setup

Geometri merupakan langkah awal dimana pengecekan solid tidaknya model yang telah dibuat dan *setup* adalah tahapan yang dilakukan setelah *mesh* berhasil dilakukan. Pada tahap *setup* ini adalah *setup* yang digunakan untuk memvalidasikan hasil uji coba *propeller* dengan *CFD*. Inputan data yang dimasukan dalam *setup* harus sesuai dan benar. Dalam tahap *setup* untuk sub domain *inlet* dan *outlet* pada simulasi *Computational Fluid Dynamic* dengan kecepatan *advance* sebesar 13,09 knot sebagai *inlet* dan tekanan *propeller* pada kedalaman dari sarat kapal sebesar 1,25 atm.

(1)

(2)

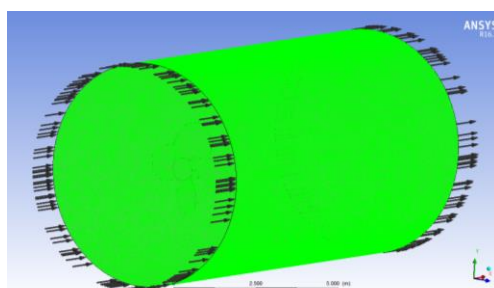
(3)

Tabel 2. Boundary Condition Fluid

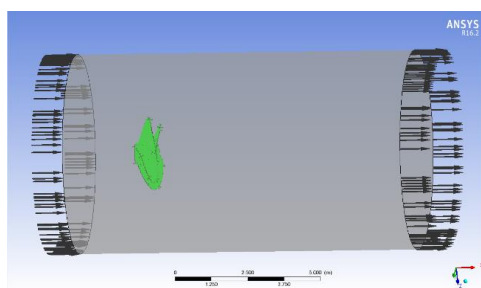
| | |
|-------------------|-----------------|
| Name Domain | Fluid |
| Material Library | |
| Water | |
| Morphology | Continous Fluid |
| Domain Motion | Stationary |
| Heat Transfer | Isothermal |
| Fluid Temperature | 25° C |
| Domain Motion | Stationary |
| Wall Function | Scalable |

Tabel 3. Boundary Condition Fluid

| | |
|------------------|-----------------|
| Name Domain | Propeller |
| Material Library | |
| Almuniun | |
| Morphology | Continous Solid |
| Domain Motion | Rotating |
| Angular Velocity | 244 rev/min |
| Axis Definition | Coordinate Axis |
| Rotation Axis | Global Z |



Gambar 3. Geometri Fluid



Gambar 4. Geometri Propeller

3.3 Grid Independence and Validation Propeller

Tabel 4. Grid Independence and Validation Propeller

| Jumlah Elemen | Curvature | Proximity and Curvature | Proximity and Curvature + |
|---------------|-----------|-------------------------|---------------------------|
| | | | 8981325 |
| T (N) | 184362 | 182632 | 167102 |
| Error % | 17,94 | 16,84 | 6,9 |
| Q (N) | 66320 | 64787 | 61169 |
| Error % | 6,87 | 9,01 | 14,08 |

Pada penelitian ini untuk memvalidasi hasil dari uji model, menggunakan perhitungan manual nilai *thrust* dan *torque*. Validasi digunakan untuk menentukan *boundary condition* yang tepat untuk digunakan pada *boundary condition* pada saat menganalisa 14 model *propeller* dengan menggunakan *software* berbasis *CFD*. maksimal *error* untuk validasi antara *CFD* dengan hasil perhitungan sebesar

15%. *Meshing* yang digunakan untuk proses *setup* selanjutnya yaitu *Proximity and Curvature +*.

3.4 Hasil Simulasi

Penelitian *propeller B-Series* yang divariasikan sudut *rake* dengan nilai -3°, -2°, -1°, 0°, 5°, 10° dan 15° juga variasi sudut *skew* 12° dan 22°. Tujuan penelitian adalah menganalisa model *propeller* untuk mendapatkan model *propeller thrust*, *torque*, efisiensi, *static pressure* dan *velocity*.

A. Perbandingan Nilai Thrust

Hasil simulasi *propeller* diperoleh hasil nilai *thrust* tertinggi pada *propeller rake* -2° *skew* 12° sebesar 172688 N dan nilai *thrust* tertinggi pada *propeller rake* -3° *skew* 22° sebesar 180053 N. Secara keseluruhan nilai *thrust* dapat dilihat pada tabel 5.

B. Perbandingan Nilai Torque

Hasil simulasi *propeller* diperoleh hasil nilai *torque* terendah pada *propeller rake* 5° *skew* 12° sebesar 59247 Nm dan nilai *torque* terendah pada *propeller rake* 15° *skew* 22° sebesar 63970,1 Nm. Secara keseluruhan nilai *torque* dapat dilihat pada tabel 6.

C. Perbandingan Nilai Efisiensi

Hasil simulasi *propeller* diperoleh hasil nilai efisiensi tertinggi pada *propeller rake* 0° *skew* 12° sebesar 0,738 dan efisiensi tertinggi pada *propeller rake* -1° *skew* 22° sebesar 0,722. Secara keseluruhan nilai *efisiensi* dapat dilihat pada tabel 7.

D. Perbandingan Nilai Static Pressure

Hasil simulasi *propeller* diperoleh hasil nilai *static pressure* terbesar pada *propeller rake* 10° *skew* 12° sebesar 137642 Pa dan nilai *static pressure* terbesar pada *propeller rake* -1° *skew* 22° sebesar 136955 Pa.. Secara keseluruhan nilai *static pressure* dapat dilihat pada tabel 8. Visualisasi salah satu *pressure face* dan *back* pada *propeller B-Series rake* 15° *skew* 12° dapat dilihat pada gambar 11.

E. Perbandingan Nilai Velocity

Hasil simulasi *propeller* diperoleh nilai *velocity* tertinggi pada *propeller rake* 10° *skew* 12° sebesar 6,65 m/s dan nilai *velocity* tertinggi pada *propeller rake* 10° *skew* 22° sebesar 6,59 m/s. Secara keseluruhan nilai *velocity* dapat dilihat pada tabel 9. Visualisasi salah satu *velocity* pada *plane* x=0,3 m, x=0,7 m dan x=1,4 m di *propeller B-Series rake* 15° *skew* 12° dapat dilihat pada gambar 12.

Tabel 5. Hasil Simulasi *Thrust*

| Rake (°) | Thrust (N) | |
|----------|---------------|---------------|
| | Skew 12° | Skew 22° |
| -3 | 170988 | 180053 |
| -2 | 172688 | 176069 |
| -1 | 172252 | 179489 |
| 0 | 168520 | 178181 |
| 5 | 165524 | 177997 |
| 10 | 164758 | 175729 |
| 15 | 167102 | 172657 |

Tabel 6. Hasil Simulasi *Torque*

| Rake (°) | Torque (Nm) | |
|----------|--------------|----------------|
| | Skew 12° | Skew 22° |
| -3 | 61990,1 | 66084,5 |
| -2 | 63303,3 | 64556,7 |
| -1 | 62471,7 | 65418,2 |
| 0 | 60107 | 65418,2 |
| 5 | 59274 | 65436,7 |
| 10 | 59311,5 | 65054,8 |
| 15 | 61169,4 | 63970,1 |

Tabel 7. Hasil Perhitungan Efisiensi

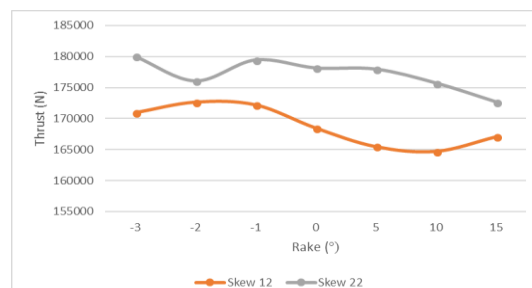
| Rake (°) | Efisiensi | |
|----------|--------------------|--------------------|
| | Skew 12° | Skew 22° |
| -3 | 0,726532578 | 0,717649772 |
| -2 | 0,71853447 | 0,718378578 |
| -1 | 0,726261039 | 0,722688336 |
| 0 | 0,738479078 | 0,71742185 |
| 5 | 0,735543792 | 0,716478381 |
| 10 | 0,731676997 | 0,711501613 |
| 15 | 0,719547096 | 0,710917097 |

Tabel 8. Hasil Perhitungan *Static Pressure*

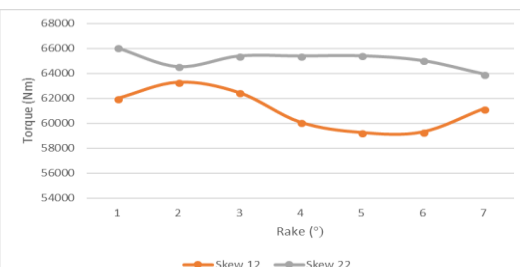
| Rake (°) | Static Pressure (Pa) | |
|----------|----------------------|---------------|
| | Skew 12° | Skew 22° |
| -3 | 136841 | 136301 |
| -2 | 137104 | 131499 |
| -1 | 137262 | 136955 |
| 0 | 137519 | 136341 |
| 5 | 137256 | 135988 |
| 10 | 137642 | 136212 |
| 15 | 134174 | 129374 |

Tabel 9. Hasil Perhitungan *Velocity*

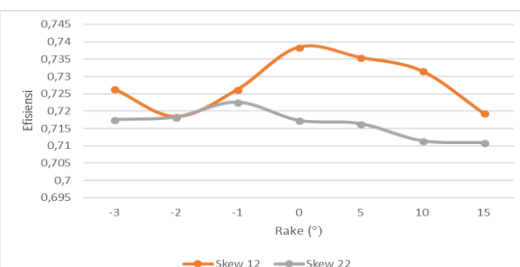
| Rake (°) | Velocity (m/s) | |
|----------|----------------|-------------|
| | Skew 12° | Skew 22° |
| -3 | 6,28 | 6,26 |
| -2 | 6,33 | 5,23 |
| -1 | 6,46 | 6,46 |
| 0 | 6,39 | 6,39 |
| 5 | 6,47 | 6,49 |
| 10 | 6,65 | 6,59 |
| 15 | 6,11 | 6,15 |



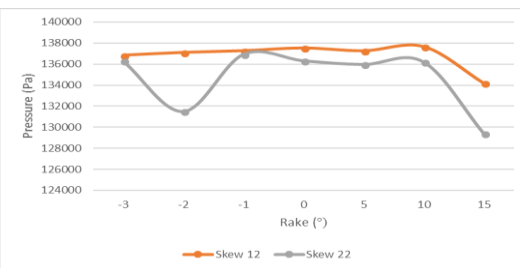
Gambar 6. Grafik Hubungan *Thrust* Dan *Rake*



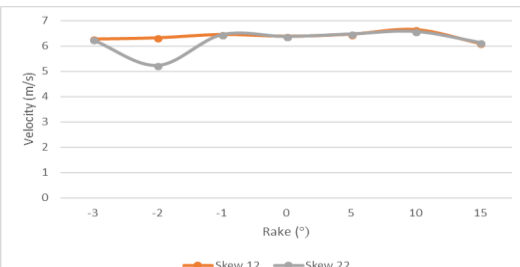
Gambar 7. Grafik Hubungan *Torque* Dan *Rake*



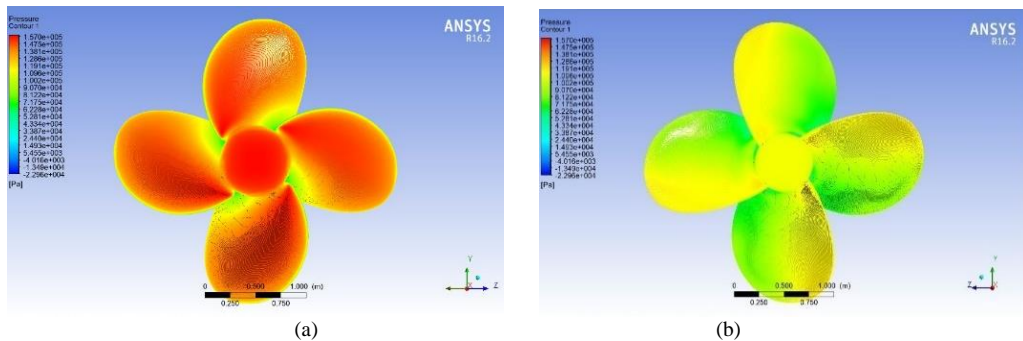
Gambar 8. Grafik Hubungan *Efisiensi* Dan *Rake*



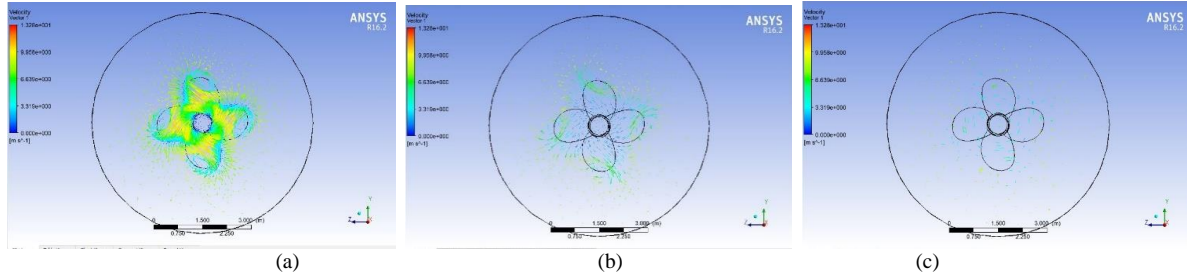
Gambar 9. Grafik Hubungan *Static Pressure* Dan *Rake*



Gambar 10. Grafik Hubungan *Velocity* Dan *Rake*



Gambar 11. Static Pressure Contour Pada Propeller Rake 15° Skew 12° (a) Face (b) Back Dan Posisi Plane (c) 0,3 m (d) 0,7 m (e) 1,4 m



Gambar 12. Velocity Vector Pada Propeller Rake 15° Skew 12° Posisi Plane (a) 0,3 m (b) 0,7 m (c) 1,4 m

4. KESIMPULAN DAN SARAN

Berdasarkan analisa dan pembahasan penelitian *propeller* dengan variasi sudut *rake* dan *skew* berpengaruh terhadap performa *propeller* dengan keadaan *open water test*. Hasil simulasi 14 model *propeller* mendapatkan efisiensi tertinggi pada *propeller rake* 0° *skew* 12° sebesar 0,738 dan efisiensi tertinggi pada *propeller rake* -1° *skew* 22° sebesar 0,722.

Penelitian ini tidak lepas dari kekurangan yang dapat diperbaiki untuk penelitian selanjutnya. Dalam penelitian selanjutnya dapat memperhatikan kembali kualitas *meshing*, *domain condition* dan *boundary condition* yang sesuai untuk mendapatkan nilai *error thrust* dan *torque* lebih akurat. Selain itu, penelitian selanjutnya dapat menganalisa aliran fluida tanpa mengabaikan aliran fluida dari lambung.

5. DAFTAR PUSTAKA

- [1] M. A. Elghorab, A. Abou El-Azm Aly, A. S. Elwetedy, dan M. A. Kotb. (2013). *Open Water Performance Marine Propellers Using CFD*. Research Gate, India.
- [2] Wisnu C. A., Irfan S. dan Surjo W. A. (2015). Analisa Pengaruh Variasi Sudut *Rake Propeller B-Series* Terhadap Aliran Fluida Dengan Metode *CFD*. Institut Teknologi Sepuluh Nopember : POMITS

“Halaman ini sengaja dikosongkan”